

# Capítulo 11

## Projeto de Testes e Escolha de Estruturas

### 11.1 Introdução

O presente capítulo trata de questões referente à coleta dos sinais necessários à identificação e de como proceder a escolha da estrutura do modelo. Pretende-se descrever algumas ferramentas que podem auxiliar em decisões que dizem respeito ao projeto de testes, à escolha da estrutura do modelo e à determinação da taxa de amostragem.

### 11.2 Escolha e Coleta de Sinais

Três aspectos fundamentais em identificação de sistemas são: onde excitar a planta, que tipo de sinais usar a fim de obter dados que sejam representativos dessa dinâmica e como amostrar tais dados.

### **11.2.1 Escolha de entradas e de saídas**

Ao se buscar um modelo matemático que relacione dinamicamente duas variáveis de um sistema, parte-se do pressuposto de que há correlação significativa entre tais variáveis que justifique o modelo.

### **11.2.2 Escolha de sinais de entrada**

- A persistência de excitação tem interpretações numéricas bem como dinâmicas;
- sinais aleatórios e pseudo-aleatórios são comuns;
- no caso de sistemas com múltiplas entradas, além de tais entradas precisarem ser persistentemente excitantes, não devem estar correlacionadas entre si;
- na identificação de dinâmica linear o importante é a largura do espectro do sinal de entrada;
- na identificação de sistemas não-lineares o perfil de amplitude torna-se importante também.

### Exemplo 11.2.1. *Escolha de variáveis de entrada*

Foram usados dados reais coletados na unidade de tratamento de águas ácidas de uma refinaria de petróleo. São 991 observações de oito variáveis do processo. O objetivo final era a obtenção de um modelo que explicasse a temperatura no topo da torre (saída do modelo). As sete variáveis restantes se qualificam como entradas? Haveria redundância entre tais variáveis?

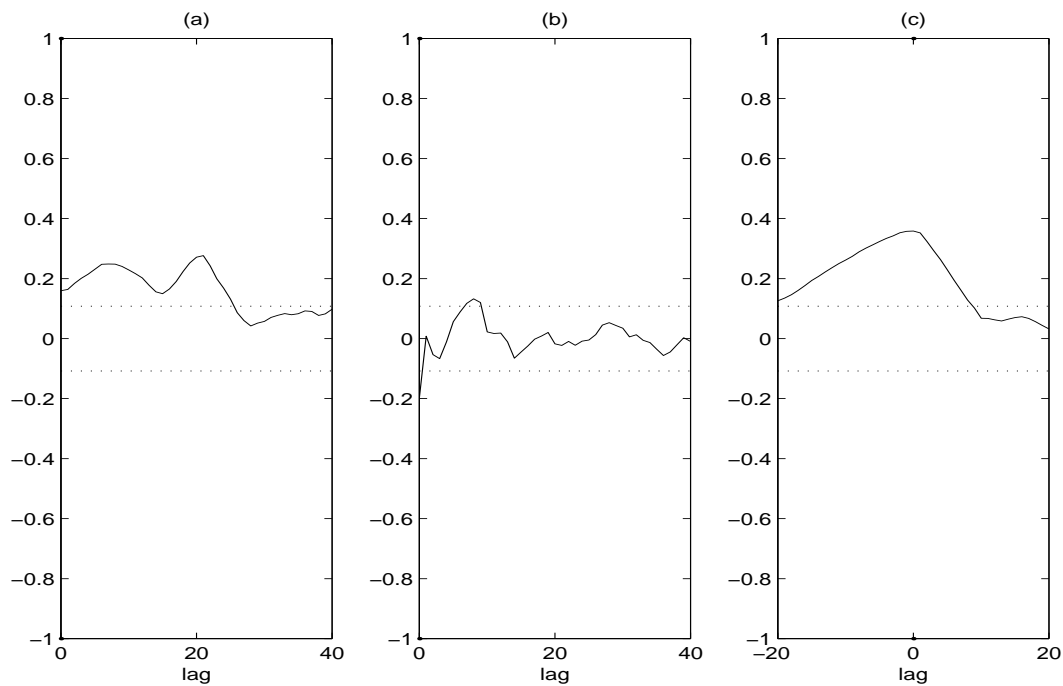


FIGURA 11.1: Funções de correlação cruzada (a,b) entre a variável de saída e duas variáveis candidatas a serem entradas, (c) entre (outras) duas variáveis candidatas a serem entradas.

□

**Exemplo 11.2.2.** *Sinais de excitação para um oscilador não-linear*

O oscilador de Duffing-Ueda

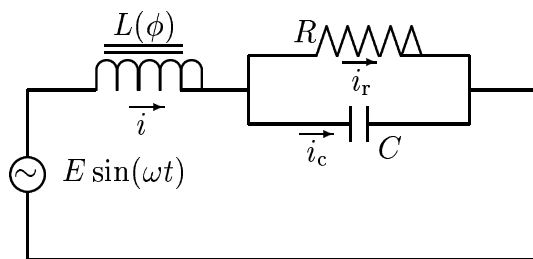


FIGURA 11.2: Circuito do oscilador de Duffing-Ueda, usado no exemplo 11.2.2.

Esse oscilador pode ser descrito pela seguinte equação diferencial:

$$\ddot{y} + k\dot{y} + y^3 = u(t),$$

sendo que no presente exemplo  $k = 0, 1$ .

Mesmo sendo excitado por uma única frequência, o espectro do sinal de saída do sistema é bastante amplo. Em alguns casos basta um sinal simples, mas de amplitude e frequência bem determinadas, para excitar um sistema não-linear razoavelmente bem.

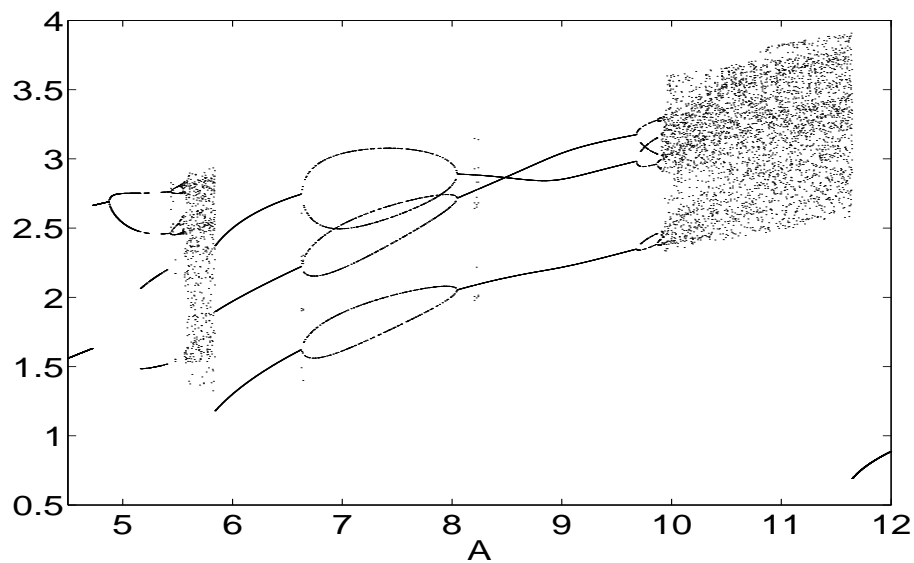


FIGURA 11.3: Diagrama de bifurcação do oscilador da Figura 11.2, com entrada  $u(t) = A \cos t$  e  $4,5 \leq A \leq 12$ .

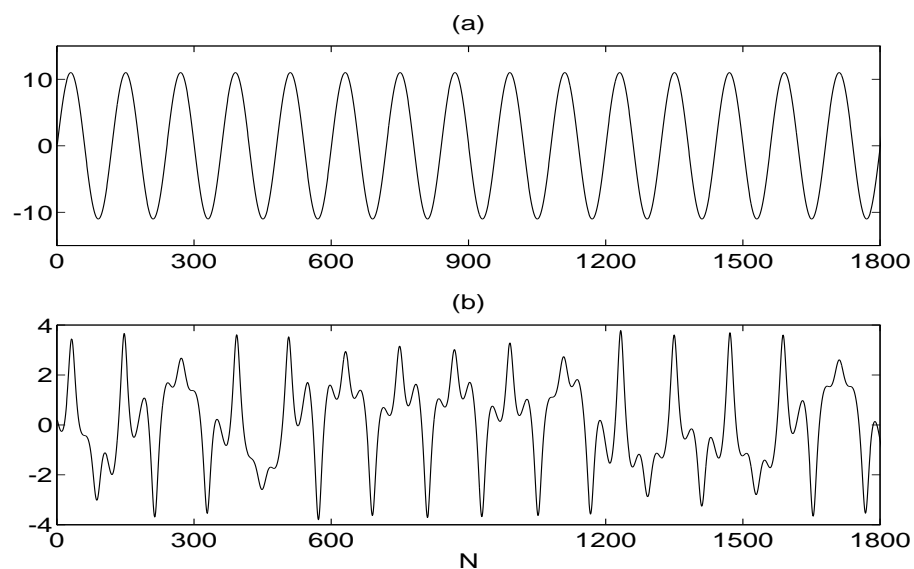


FIGURA 11.4: Resposta do oscilador Duffing-Ueda, mostrado na Figura 11.2, excitado por (a)  $u(t) = 11 \cos(t)$ , (b) saída,  $y(t)$ .

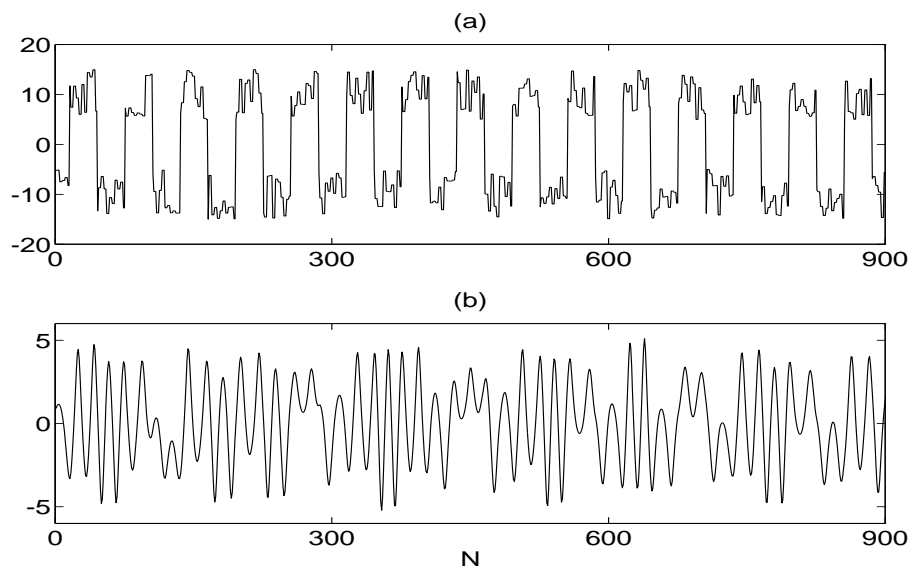


FIGURA 11.5: Resposta do oscilador Duffing-Ueda. (a)  $u(t)$  onda quadrada de  $\omega = 1$  rad/s e amplitude  $\pm 10$ , com sinal gaussiano de  $\sigma_e^2 = 9$ , (b) saída,  $y(t)$ .

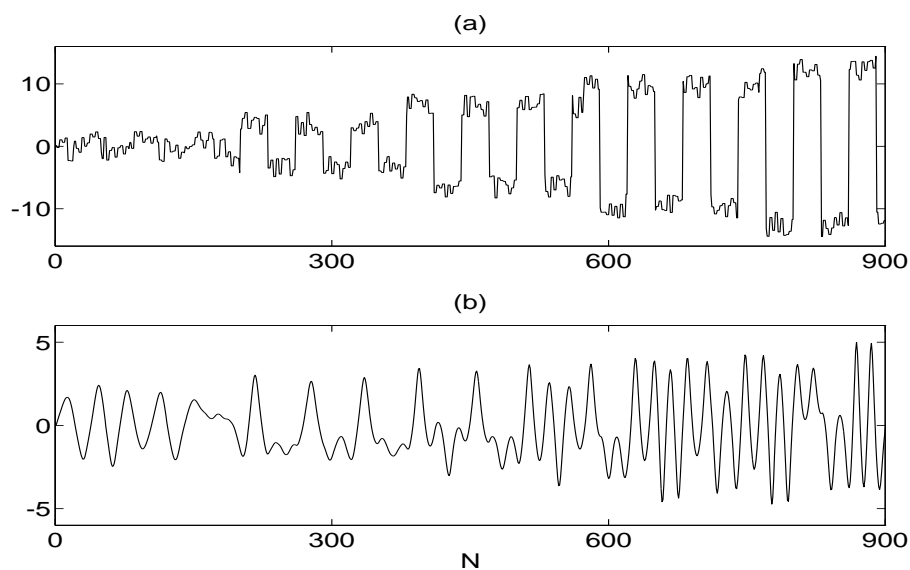


FIGURA 11.6: Resposta do oscilador Duffing-Ueda. (a)  $u(t)$  onda quadrada de  $\omega = 1$  rad/s e amplitude crescente, com sinal gaussiano de  $\sigma_e^2 = 9$ , (b)  $y(t)$ .

### 11.2.3 Escolha do tempo de amostragem

Assume-se que o sinal original  $y^*(k)$  foi registrado utilizando-se um tempo de amostragem muito pequeno, ou seja, muito menor do que o necessário. A questão passa a ser a definição de uma taxa pela qual o sinal observado  $y^*(k)$  será decimado de forma a gerar o sinal de trabalho  $y(k)$ , devidamente amostrado. Deseja-se determinar  $\Delta \in \mathbb{N}$  de forma que  $y(k) = y^*(\Delta k)$ .

Determinam-se as seguintes funções:

$$\begin{aligned} r_{y^*}(\tau) &= E \left[ (y^*(k) - \overline{y^*(k)}) (y^*(k - \tau) - \overline{y^*(k)}) \right] \\ r_{y^{*2}}(\tau) &= E \left[ (y^{*2}(k) - \overline{y^{*2}(k)}) (y^{*2}(k - \tau) - \overline{y^{*2}(k)}) \right] \end{aligned}$$

e seus primeiros mínimos,  $\tau_{y^*}$ ,  $\tau_{y^{*2}}$ , respectivamente. O menor desses mínimos passará a ser o valor de trabalho, ou seja,  $\tau_m^* = \min[\tau_{y^*}, \tau_{y^{*2}}]$ . Deseja-se escolher  $\Delta$  de forma que as funções de autocovariância do sinal decimado  $y(k) = y^*(\Delta k)$  satisfaçam

$$10 \leq \tau_m \leq 20,$$

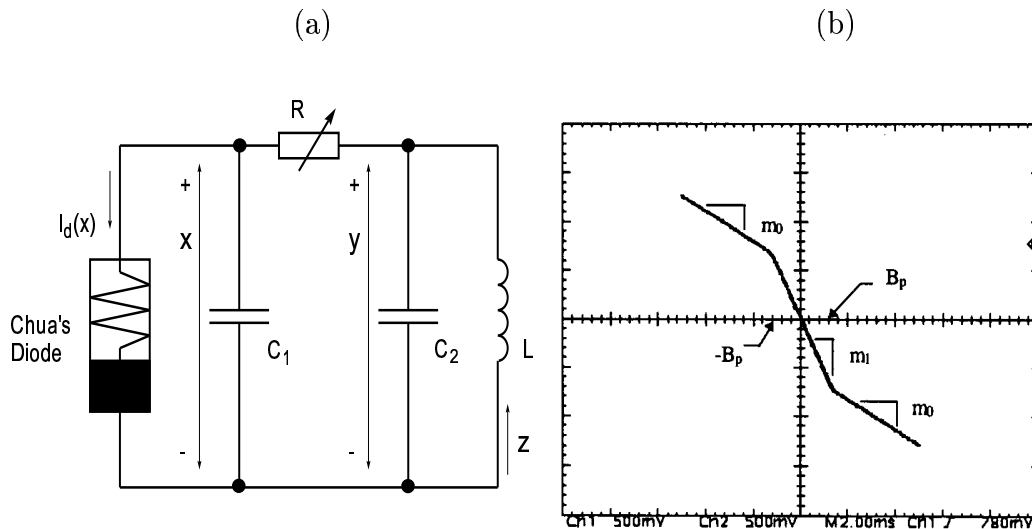
sendo que os limites inferior e superior podem ser relaxados para 5 e 25, respectivamente.

### Exemplo 11.2.3. Escolha do tempo de amostragem

Seja o sistema de Chua,

$$\begin{cases} \dot{x} = \alpha(y - h(x)) \\ \dot{y} = x - y + z, & h(x) = \begin{cases} m_1x + (m_0 - m_1), & x \geq 1 \\ m_0x, & |x| \leq 1 \\ m_1x - (m_0 - m_1), & x \leq -1, \end{cases} \\ \dot{z} = -\beta y \end{cases}$$

com  $m_0 = -1/7$ ,  $m_1 = 2/7$ ,  $\alpha = 9$  e  $\beta = 100/7$  e  $T_s = 0,01$ .



(a) o circuito de Chua e (b) característica corrente-tensão medida para o diodo de Chua implementado.



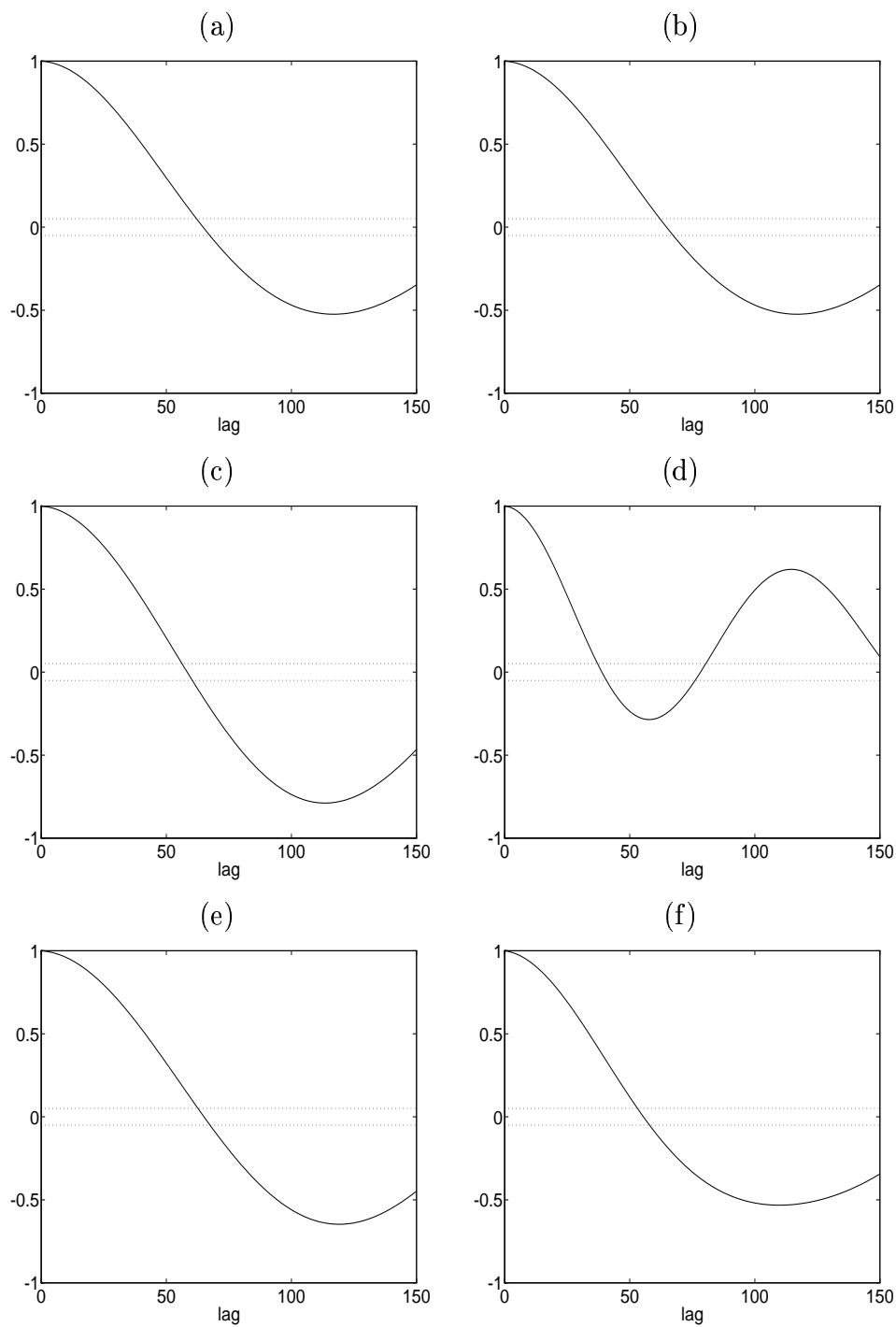


FIGURA 11.7:  $r_y^*(\tau)$  para o atrator dupla-volta, calculada a partir das componentes (a)  $x$ , (c)  $y$  e (e)  $z$ ;  $r_{y*2'}(\tau)$  determinada a partir das componentes (b)  $x$ , (d)  $y$  e (f)  $z$ .

## 11.3 Seleção da Estrutura de Modelos

### 11.3.1 Seleção da ordem de modelos lineares

- Cancelamento de pólos e zeros;
- *critério de informação de Akaike* (AIC) definido como

$$AIC(n_\theta) = N \ln[\sigma_{\text{erro}}^2(n_\theta)] + 2n_\theta,$$

sendo que  $N$  é o número de dados,  $\sigma_{\text{erro}}^2(n_\theta)$  é a variância do erro de modelagem (erro de predição de um passo à frente ou resíduos) e  $n_\theta = \dim[\hat{\boldsymbol{\theta}}]$  é o número de parâmetros no modelo.

- Há outros *critérios de informação* semelhantes. Erro final de predição (FPE) e o critério de informação de Bayes (BIC),

$$\begin{aligned} FPE(n_\theta) &= N \ln[\sigma_{\text{erro}}^2(n_\theta)] + N \ln \left[ \frac{N + n_\theta}{N - n_\theta} \right] \\ BIC(n_\theta) &= N \ln[\sigma_{\text{erro}}^2(n_\theta)] + n_\theta \ln N. \end{aligned}$$

- O uso de critérios de informação pressupõe que existe uma ordem predefinida para incluir os termos candidatos sequencialmente no modelo.

- Uso de coeficiente de agrupamento. A ordem do modelo é a primeira para a qual

$$| \Sigma_y(T_s) - \Sigma_{y_0}(T_s) | < \gamma$$

é satisfeita, sendo que  $\gamma \ll 1$ . Se um modelo discreto tiver integração então  $\Sigma_y = 1$ .

1. De posse dos dados  $u(k)$  e  $y(k)$ ,  $k = 1, 2, 3, \dots, N$ , obter uma saída modificada calculando-se

$$\tilde{y}(k) = \tilde{y}(k-1) + y(k-1),$$

sendo  $\tilde{y}(0) = 0$ ;

2. para  $n_y = 1 \dots n_{\max}$ , estimar parâmetros a partir dos dados  $u(k)$  e  $\tilde{y}(k)$ ,  $k = 1, 2, \dots, N$ ;
3. determinar os coeficientes de agrupamento  $\Sigma_{\tilde{y}}$  para os modelos estimados no passo 2. Ou seja, calcular  $\Sigma_{\tilde{y}}^{1,1}, \Sigma_{\tilde{y}}^{2,2}, \dots, \Sigma_{\tilde{y}}^{n_{\max}, n_{\max}}$ ;
4. se o primeiro coeficiente de agrupamento que satisfaz

$$| \Sigma_{\tilde{y}}^{i,i} - 1 | < \gamma, \quad i = 1, 2, \dots, n_{\max}$$

para  $\Sigma_{\tilde{y}}^{r,r}$  ( $1 \leq r \leq n_{\max}$ ), sendo  $\gamma \ll 1$ , então uma ordem adequada para o modelo é  $n_y = r - 1$ .

### Exemplo 11.3.1. *Determinação de ordem*

Seja o modelo contínuo

$$m\ddot{y}(t) + c\dot{y}(t) + ky(t) = u(t),$$

sendo  $m=20$ ,  $c=k=5$ . O modelo (11.1) foi simulado usando-se uma rotina de integração de Runge-Kutta de quarta ordem (ver seção 1.6), dando origem a dados “contínuos”  $\{y(t), u(t)\}$  que foram subsequêntemente “amostrados” com período  $T_s$ , resultando em duas séries com  $N = 200$ .

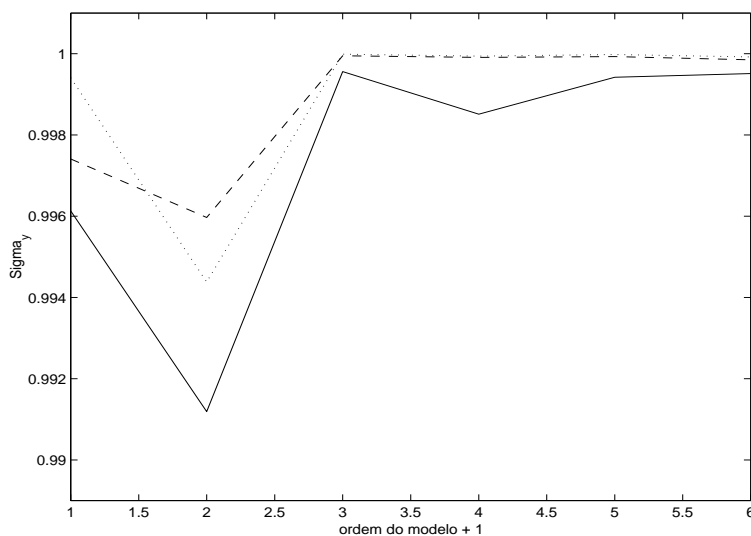


FIGURA 11.8: Coeficiente de agrupamento  $\Sigma_{\tilde{y}}$  para:

(—)  $1/T_s = 0,75$  Hz, ( - - )  $1/T_s = 1$  Hz e  
 (  $\cdots$  )  $1/T_s = 2$  Hz.

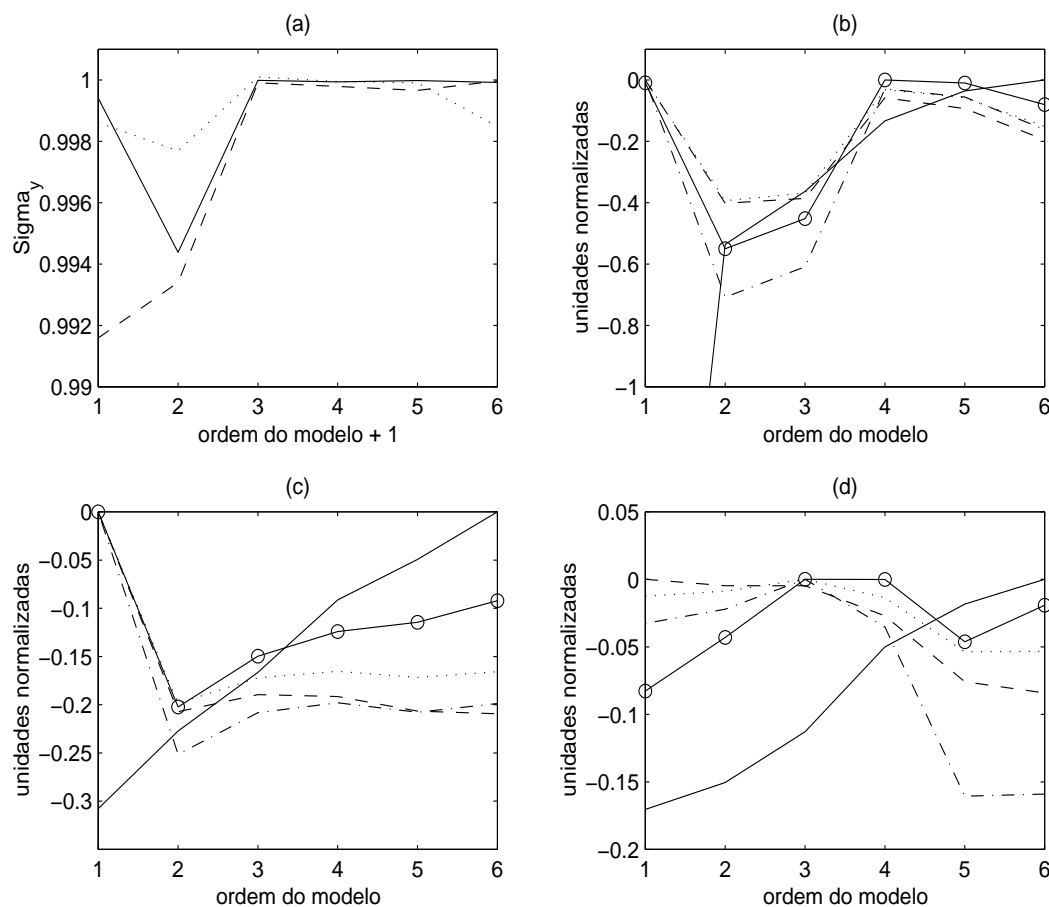


FIGURA 11.9: (a) coeficiente de agrupamento  $\Sigma_{\tilde{y}}$  para:  
 (—) sem ruído, (---) SNR=2,9 e  
 (...) SNR=0,74. Para os demais gráficos:  
 (—) teste do determinante, (---) função de erro,  
 (...) FPE, (-.-) AIC e (-o-) BIC, (b) sem ruído,  
 (c) SNR=2,9 e (d) SNR=0,74.

□

### 11.3.2 Seleção da estrutura de modelos não-lineares

- ERR;
- análise de agrupamento de termos;
- *pruning*.

#### Exemplo 11.3.2. Determinação de estrutura de Duffing-Ueda

A equação do oscilador de Duffing-Ueda foi integrada para obter 900 “observações” com  $T_s = \pi/30$ .

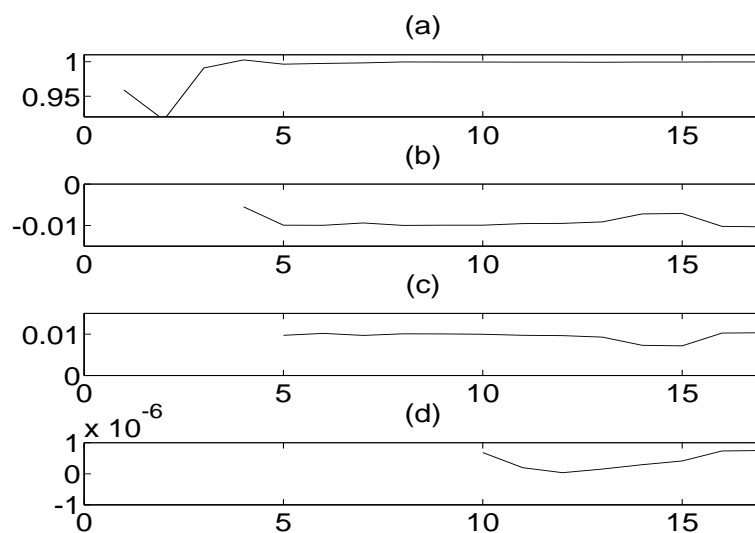


FIGURA 11.10: O eixo das abcissas é o número de termos (regressores) no modelo. (a)  $\Sigma_y$ , (b)  $\Sigma_{y^3}$ , (c)  $\Sigma_u$  and (d)  $\Sigma_{u^3}$ .

Gerou-se um conjunto de termos candidatos tomados apenas dentre os agrupamentos efetivos. Procedeu-se à identificação de modelos exatamente como antes.

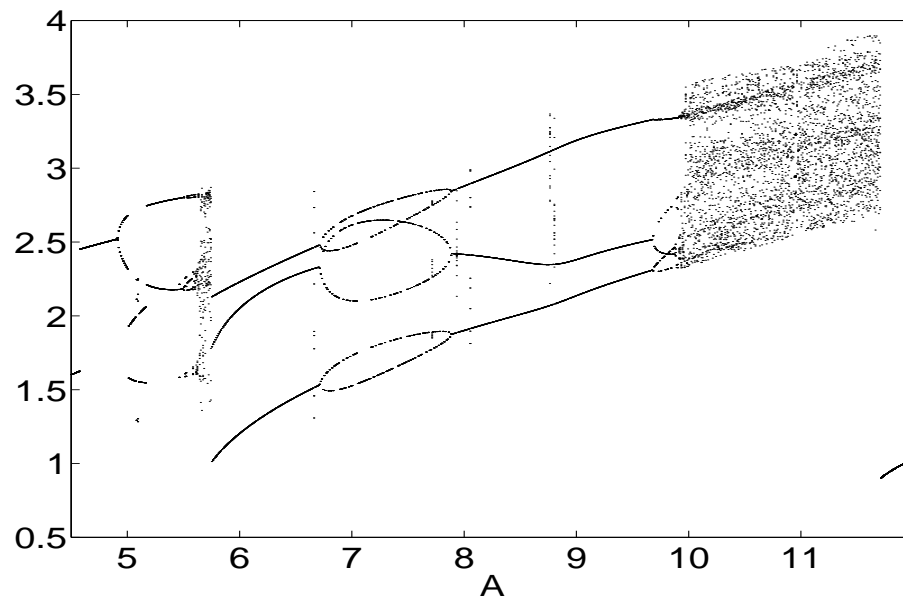


FIGURA 11.11: Diagrama de bifurcação de modelo identificado com 14 termos, escolhidos a partir de agrupamentos efetivos.

□